

Figura 1. Localización geográfica de los sitios de estudio

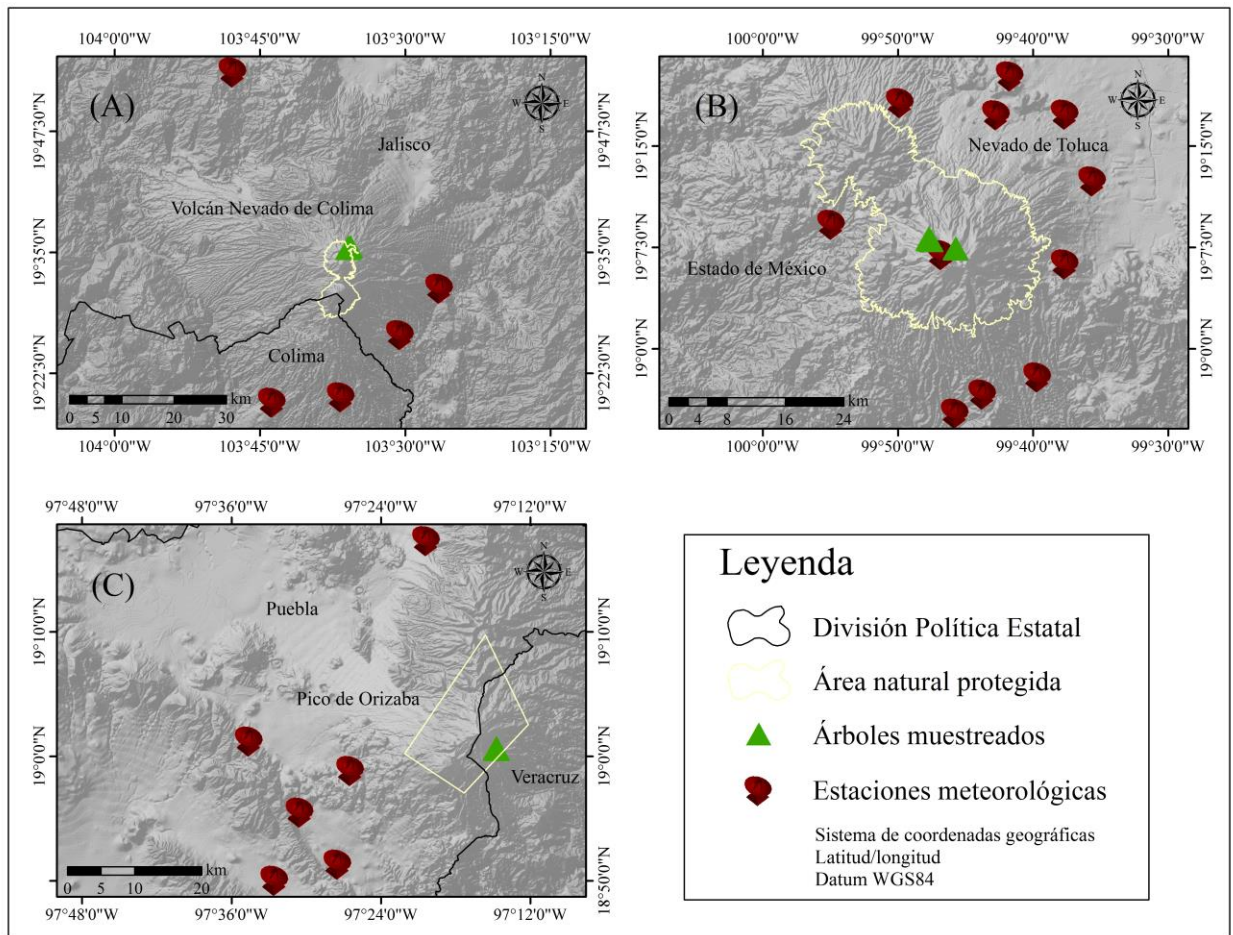
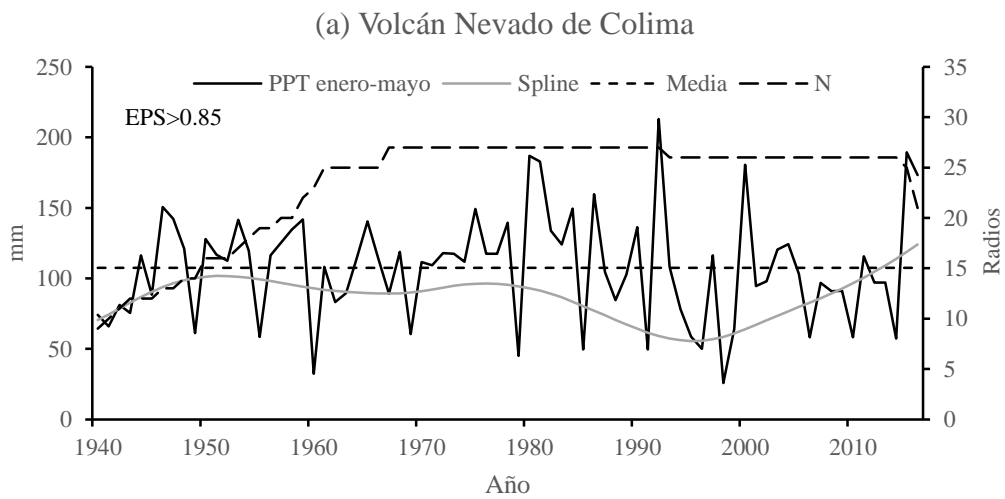


Figura 2. Estaciones meteorológicas cercanas a los sitios de estudio



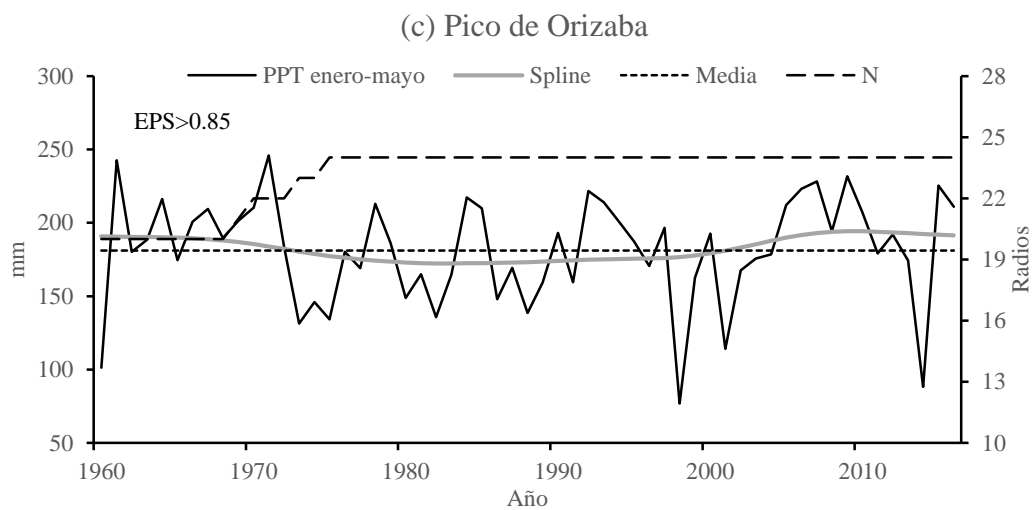
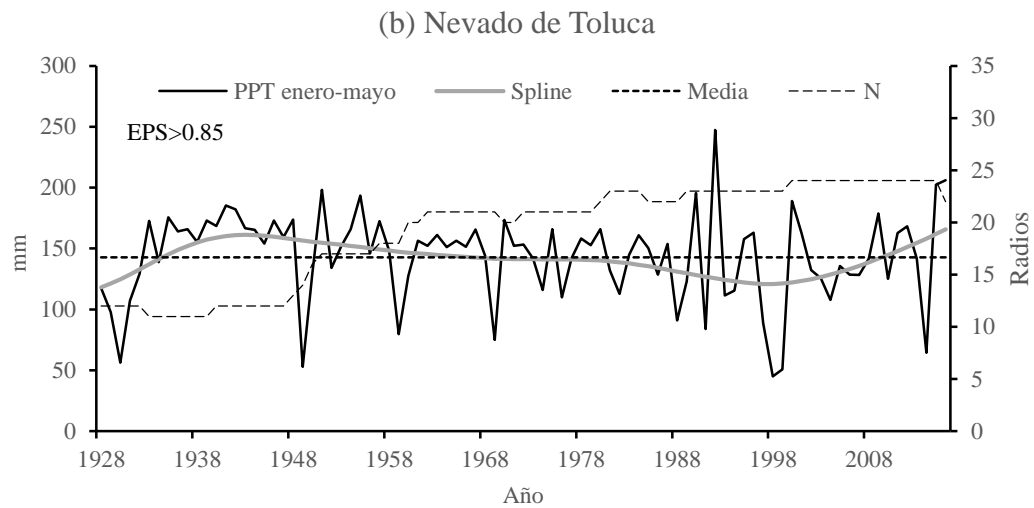
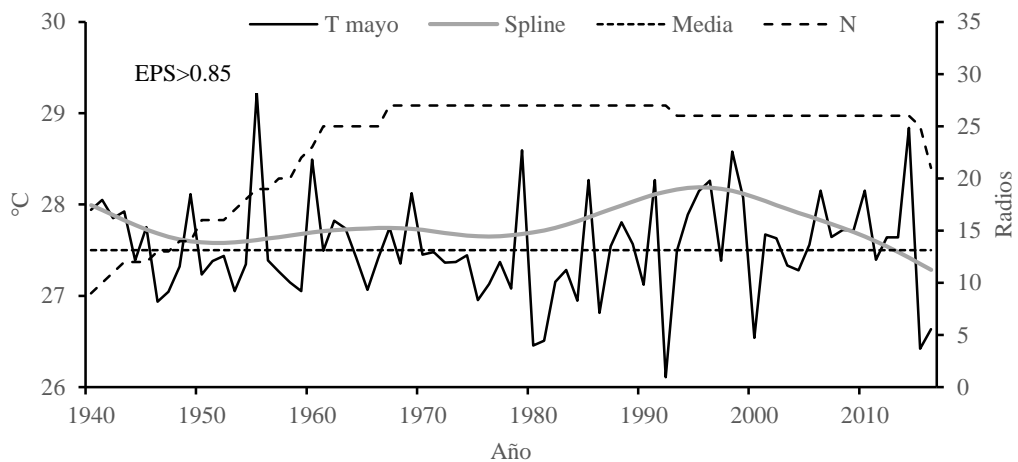
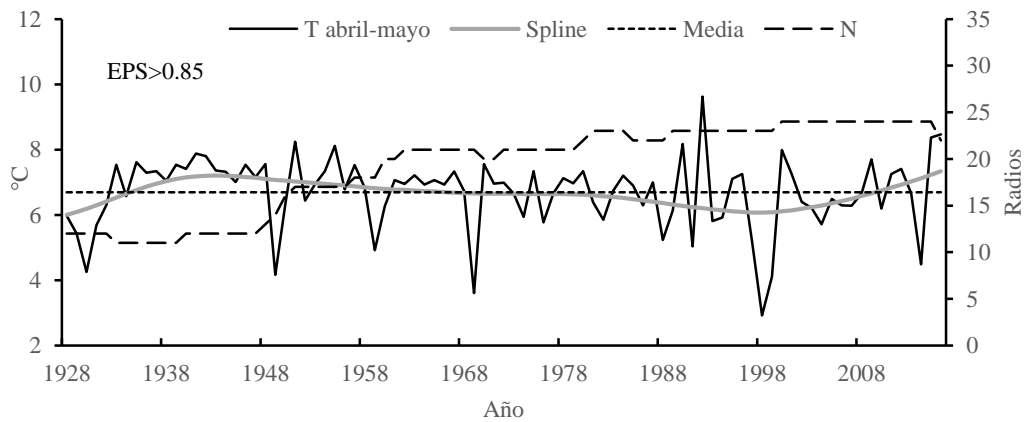


Figura 3. Reconstrucción de precipitación estacional en el Volcán Nevado de Colima (a), Nevado de Toluca (b) y Pico de Orizaba (c). PPT (precipitación), Spline (curva suavizada), Media (promedio histórico de la precipitación) y N (número de muestras)

(a) Volcán Nevado de Colima



(b) Nevado de Toluca



(c) Pico de Orizaba

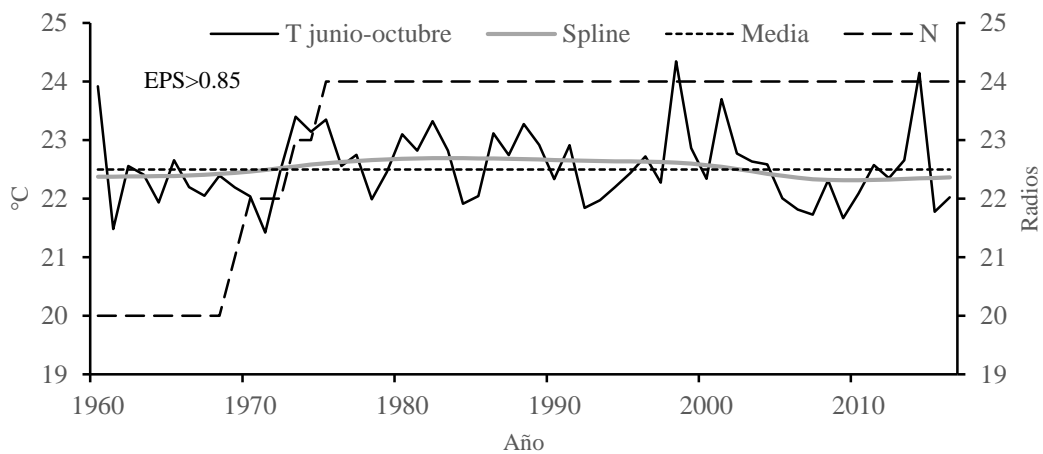


Figura 4. Reconstrucción de temperatura en el Volcán Nevado de Colima (a), Nevado de Toluca (b) y Pico de Orizaba (c). T (temperatura), Spline (curva suavizada), Media (promedio histórico de temperatura) y N (número de muestras)

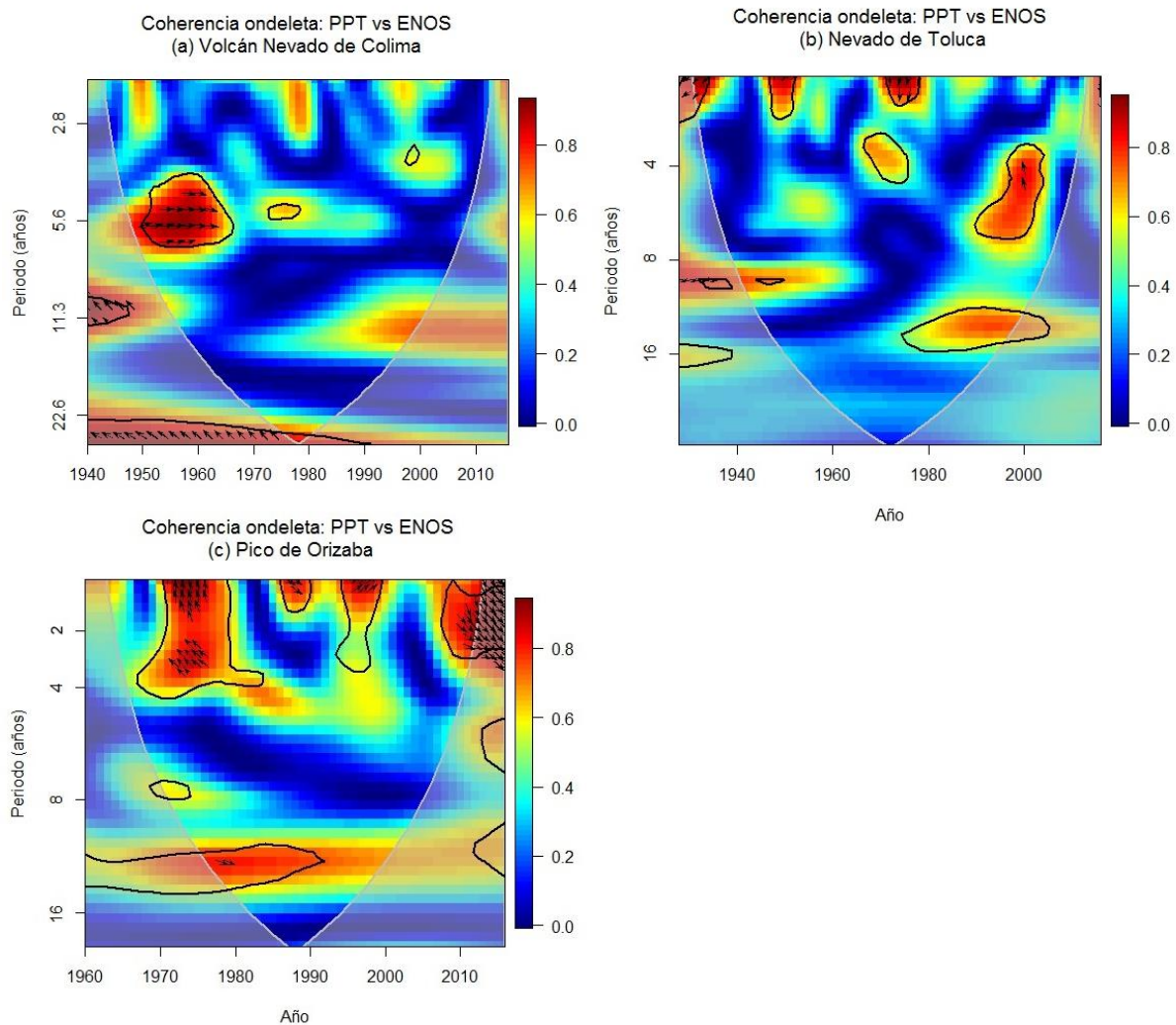


Figura 5. Análisis espectrales de coherencia ondeleta para El Niño Oscilación del Sur (ENOS) en el Volcán Nevado de Colima (a), Nevado de Toluca (b) y Pico de Orizaba (c). Las áreas en rojo delimitadas por un contorno de color negro representan periodos con frecuencias significativas ( $p < 0.05$ ), las flechas orientadas hacia la derecha indican que ambas variables se encuentran en fase (relación positiva), hacia la izquierda indican una fase opuesta (relación negativa) y en vertical, que ambas variables están desfasadas.

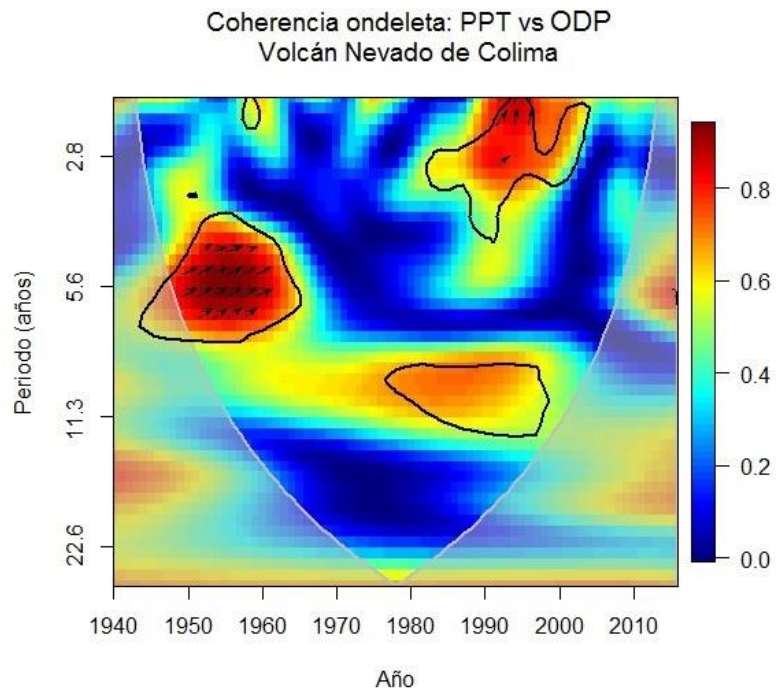


Figura 6. Análisis espectral de coherencia ondeleta para la Oscilación Decadal del Pacífico (ODP) en el Volcán Nevado de Colima



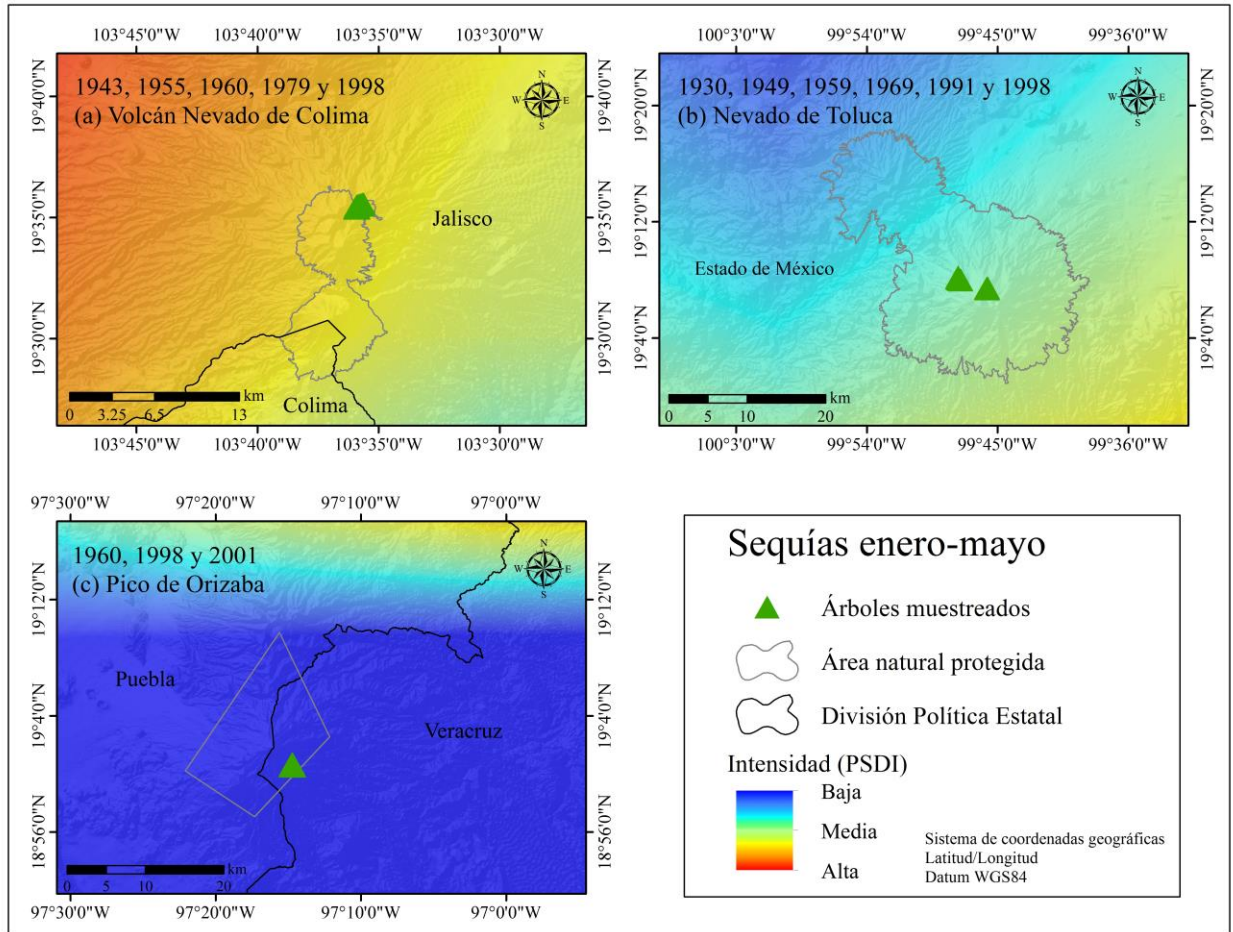


Figura 7. Intensidad promedio de los periodos de sequías (PSDI) para el Volcán Nevado de Colima (a), Nevado de Toluca (b) y Pico de Orizaba (c)